

ПОЛУЧЕНИЕ ГРАДИЕНТНЫХ ПОКРЫТИЙ НА ТИТАНОВОЙ ОСНОВЕ МЕТОДОМ ЛАЗЕРНОЙ НАПЛАВКИ

В. К. НАРВА, д-р техн. наук, **А. В. МАРАНЦ,** инж. (Нац. исслед. техн. ун-т МИСиС, г. Москва, РФ)

Проведено исследование технологии лазерной наплавки на титановую подложку и анализ свойств градиентных покрытий систем Ti–Si и Ti–NiCr. Наплавка осуществлялась на лазерной установке Trumpf DMD 505 мощностью 5 кВт. Градиентное изменение свойств покрытий определяли с помощью сканирующего электронного микроскопа, оптического светового микроскопа и рентгенофазовой дифракции. Анализ изменения твердости по толщине слоев проведен по HV методу. Установлена возможность получения качественных градиентных покрытий с целью улучшения свойств титановой основы.

Ключевые слова: лазер, лазерная наплавка, градиентные покрытия, титановая основа, фазовый состав, структура, твердость

Разработка и внедрение лазерных технологий на сегодня является перспективным направлением развития науки и техники. Одна из передовых лазерных технологий — лазерная наплавка позволяет наносить износостойкие, жаростойкие, жаропрочные, коррозионностойкие градиентные и композиционные покрытия на геометрически сложные поверхности изделий [1], ее можно использовать также для восстановления изношенных деталей, нанесения защитных покрытий, изготовления объемных объектов [2]. При лазерной наплавке транспортировка порошка в зону лазерного воздействия осуществляется защитным газом-носителем. Материал, попадая в ванну расплава, которая образуется в приповерхностном слое лазерным лучом, расплавляется, частично смешивается с ним и обеспечивает высокую прочность сцепления наплавленного слоя с подложкой. Высокие скорости охлаждения при лазерной наплавке приводят к формированию в наплавляемом материале уникальной структуры и свойств [3]. Благодаря тому, что при лазерной наплавке можно смешивать различные материалы в заданных пропорциях, создаются градиентные покрытия различного состава [2, 4].

Цель данной работы состояла в получении новых экспериментальных данных о влиянии параметров режима процесса лазерной наплавки на структуру и свойства покрытий градиентных материалов на основе титана.

Были получены градиентные покрытия на титановой подложке из материалов систем Ti–Si и Ti–NiCr, которые отличаются повышенными жаростойкостью и жаропрочностью. Для достижения этого выбраны составы поверхностных слоев

покрытия систем Ti–Si (70/30 мас. %), Ti–NiCr (70/30 мас. %). Для уменьшения внутренних напряжений между титановой подложкой и покрытием выполнены три промежуточных слоя, что позволило уменьшить разницу между значениями коэффициента термического расширения (КТР) покрытия и подложки, а также получить градиентное покрытие и высоколегированный поверхностный слой.

Составы покрытий как системы Ti–Si, так и Ti–NiCr варьировали введением кремния от 12 до 30 мас. % с шагом в 6 %. Толщина каждого слоя изменялась от 0,6 до 2,0 мм в зависимости от параметров режима лазерной наплавки (рис. 1). При нанесении слоев использовали распыленные порошки никрома (49,7 мас. % Ni) с размером частиц $d = 60\ldots160$ мкм, титана ($d = 50\ldots150$ мкм), кремния ($d = 50\ldots150$ мкм). Схема процесса лазерной наплавки приведена на рис. 2 [5].

Основными параметрами процесса лазерной наплавки, в значительной степени влияющими на структуру и свойства наплавляемого материала, являются скорость подачи (расход) порошка, скорость передвижения сопла и мощность лазера. Для определения их влияния на свойства наплавки значения этих параметров варьировали в следующих диапазонах: скорость подачи порошка в зону лазерного воздействия (скорость вращения диска, подающего порошок) 3000…5000 об/мин,

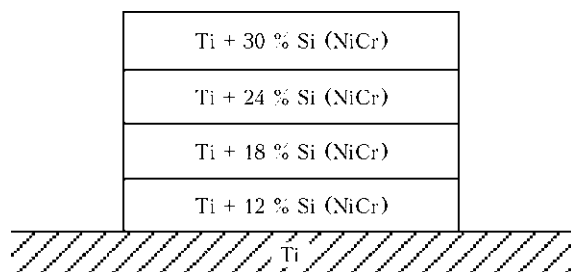


Рис. 1. Схема изменения состава слоев по высоте наплавки покрытия систем Ti–Si и Ti–NiCr



НАУЧНО-ТЕХНИЧЕСКИЙ РАЗДЕЛ

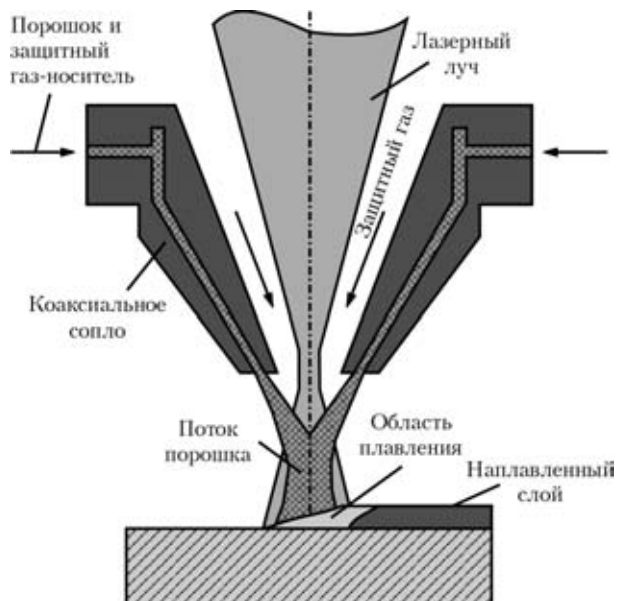


Рис. 2. Схема процесса лазерной наплавки

скорость передвижения сопла 500...1000 мм/мин. Мощность лазера составляла 5 кВт. Оценку влияния параметров процесса лазерной наплавки проводили с помощью рентгенофазового и микроструктурного анализов, электронной микроскопии, а также путем послойного определения твердости. Исследование микроструктуры осуществляли на оптическом и электронном микроскопах. Рентгенофазовый анализ был проведен при съемке на K_{Cu} -излучении с длиной волны 15,4 нм, шагом 2° с экспозицией на точку 5 с. Изменение твер-

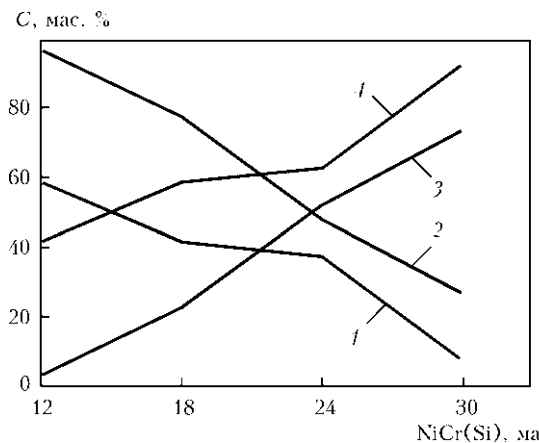


Рис. 4. Влияние содержания легирующего компонента NiCr(Si) на фазовый состав материалов систем Ti-Si и Ti-NiCr: 1 — $\alpha\text{-Ti}$; 2 — $\beta\text{-(Ti-Cr)}$; 3 — NiTi_2 ; 4 — Ti_5Si_3

дости по высоте покрытий определено по HV методу.

С целью визуального определения характера структуры (размера зерна, приблизительной оценки содержания фаз и их распределение) градиентных покрытий систем Ti-Si и Ti-NiCr использовали световой оптический микроскоп.

Изменение структуры металла покрытия исследовали по его высоте, а также при варьируемых параметрах режима процесса лазерной наплавки. При послойном рассмотрении структуры металла покрытия системы Ti-NiCr видно, что размер зерна уменьшается от нижнего к приповерхностному слою (рис. 3), что обусловлено термическим влиянием лежащих выше слоев, кото-

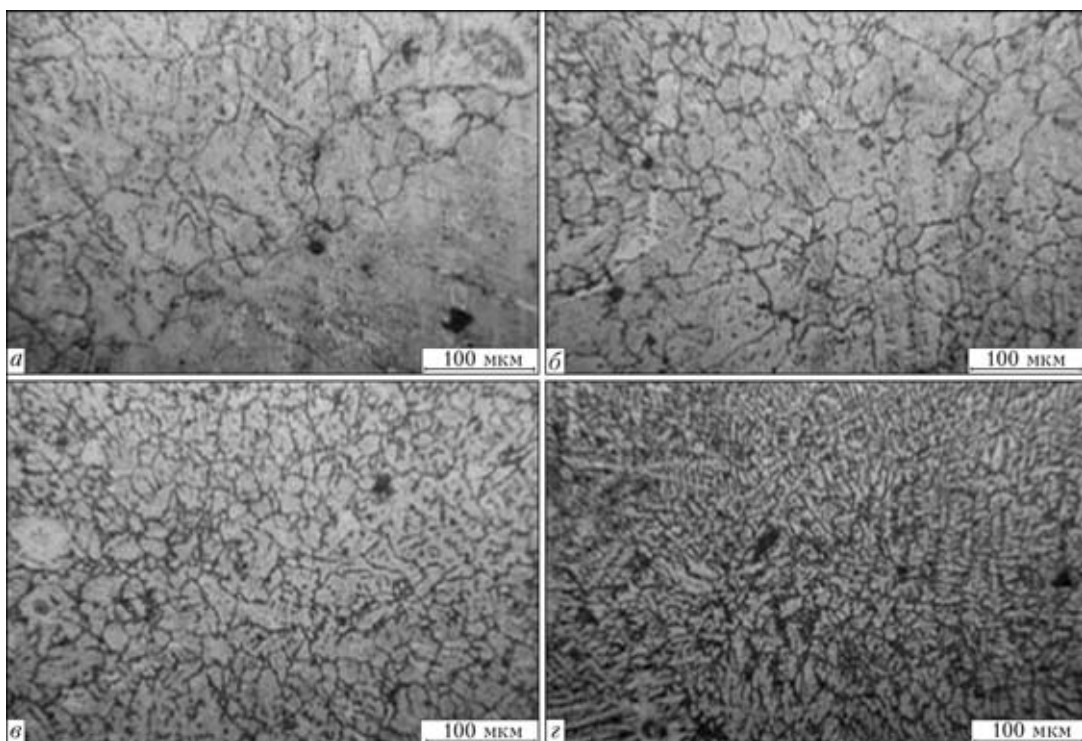


Рис. 3. Микроструктуры наплавки материала системы Ti-NiCr от подложки к приповерхностному слою: а — первый слой 12 мас. % NiCr; б — второй 18 мас. % NiCr; в — третий 24 мас. % NiCr; г — четвертый без % NiCr

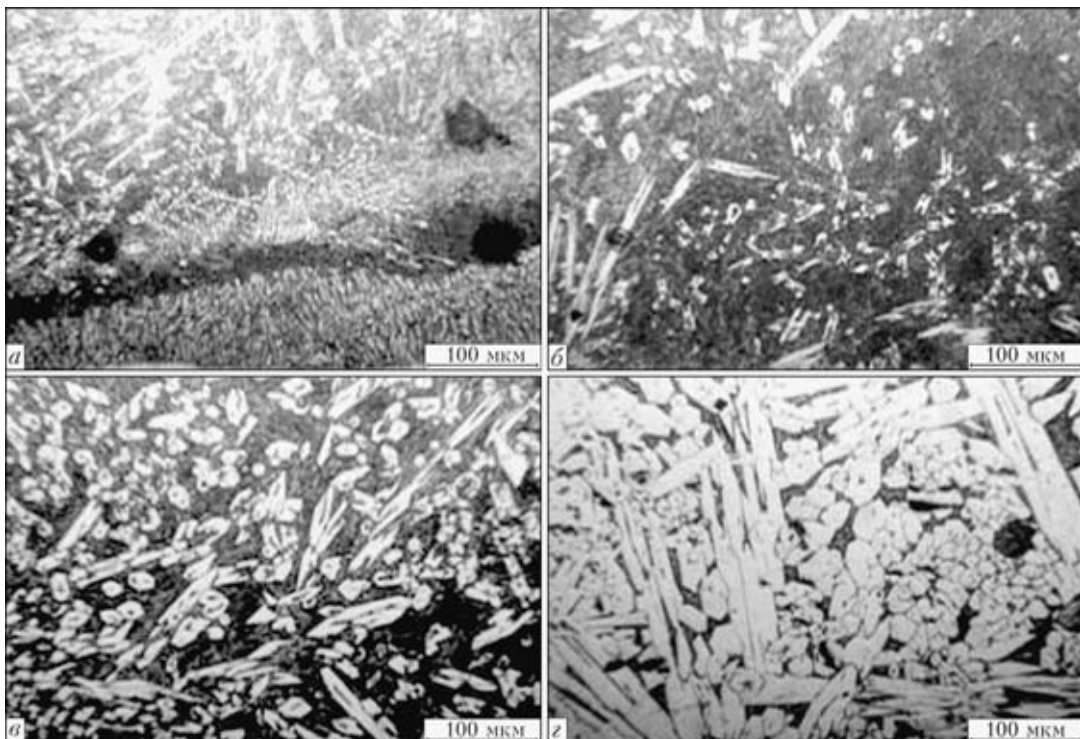


Рис. 5. Микроструктуры наплавки материала системы Ti–Si от подложки к приповерхностному слою: *а* — первый слой с 12 мас. % Si; *б* — второй с 18 мас. % Si; *в* — третий с 24 мас. % Si; *г* — четвертый с 30 мас. % Si

рое способствует увеличению размера зерна нижних слоев [6].

Основными фазами в структуре покрытия является твердый раствор β -(Ti–Cr) и интерметаллид NiTi_2 . С повышением содержания легирующего компонента NiCr(Si) увеличивается массовая доля C образующихся интерметаллидных фаз (рис. 4).

Изменение варьируемых параметров (скорости подачи порошка v_p и передвижения сопла v_s) оказывает значительное влияние на структуру металла покрытия. Так, при возрастании скорости передвижения сопла или уменьшении расхода порошка происходит уменьшение размера зерна [7], что объясняется увеличением скорости охлаждения в связи с уменьшением толщины слоев. При высокой скорости передвижения сопла в структуре покрытия остаются нерасплавленные частицы титана. Рентгеноспектральный анализ подтвердил их присутствие в приповерхностном слое образца покрытия, полученного при $v_c = 1000$ мм/мин и $v_p = 3000$ об/мин.

Фазовый состав сплава также зависит от параметров лазерной наплавки. Массовая доля выпадающей интерметаллидной фазы NiTi_2 возрастает с увеличением скорости подачи порошка и уменьшается с повышением скорости передвижения подложки. Это связано с тем, что возрастание скорости подачи порошка приводит к увеличению толщины покрытия, а значит, более медленному его охлаждению. Чем дольше остывает покрытие, тем ближе его фазовый состав будет к равновесному и тем больше силицида титана успеет выделиться. Возрастание скорости передвижения сопла приводит к обратному результату.

и тем больше интерметаллидной фазы успеет выделиться, увеличение скорости передвижения сопла влияет наоборот.

При послойном рассмотрении структуры металла покрытия системы Ti–Si определено увеличение содержания выпадающего силицида титана Ti_5Si_3 и содержания легирующего компонента от подложки к покрытию (рис. 5), что подтверждается результатами рентгенофазового анализа (см. рис. 4).

На основании результатов исследований изменения фазового состава материалов системы Ti–Si в зависимости от варьируемых параметров можно сделать вывод, что содержание выпадающего силицида титана Ti_5Si_3 возрастает с повышением скорости подачи порошка и уменьшается с повышением скорости передвижения сопла. Это связано с тем, что повышение скорости подачи порошка приводит к увеличению толщины покрытия, а значит, к более медленному его охлаждению. Чем дольше остывает покрытие, тем ближе его фазовый состав будет к равновесному и тем больше силицида титана успеет выделиться. Возрастание скорости передвижения сопла приводит к обратному результату.

Исследовали изменение твердости покрытий по высоте наплавленных слоев, а также влияние на нее параметров режима лазерной наплавки [8]. От подложки к приповерхностному слою покрытия твердость постоянно возрастает у материалов как системы Ti–NiCr, так и Ti–Si, что обусловлено формированием твердых растворов и наличием

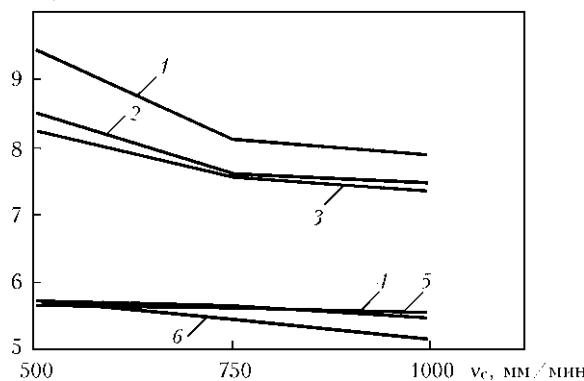


Рис. 6. Зависимость твердости поверхностных слоев покрытия от параметров режима лазерной наплавки материалов систем Ti–Si (1–3) и Ti–NiCr (4–6): 1, 6 — $v_p = 6000$; 2, 5 — 4500; 3, 4 — 3000 об/мин

интерметаллидных и силицидных фаз в покрытии.

В зависимости от варьируемых параметров режима лазерной наплавки в покрытии системы Ti–NiCr твердость поверхностных слоев изменяется незначительно и в пределах приборной ошибки (рис. 6). Таким образом, можно сделать вывод, что изменение указанных параметров в широком диапазоне на твердость наносимого покрытия не влияет.

Для материалов системы Ti–Si характерна зависимость твердости от параметров режима лазерной наплавки. Твердость поверхностных слоев уменьшается с увеличением скорости передвижения сопла v_c и возрастает с увеличением скорости подачи порошка (рис. 6), поскольку повышение v_c ведет к уменьшению толщины покрытия, возрастанию скорости охлаждения и уменьшению массовой доли фазы Ti_5Si_3 титана, которая не успевает выпасть, что подтверждается рентгенофазовым анализом. Аналогичное влияние оказывает и скорость подачи порошка.

Выводы

1. Изучено влияние параметров режима лазерной наплавки (скорости подачи порошка и передвижения сопла) на структуру и свойства покрытий градиентного составу материалов систем Ti–NiCr и Ti–Si.

2. Установлено уменьшение размера зерна от нижнего слоя покрытия (Ti–12 мас. % NiCr) к по-

верхностному слою (Ti–30 мас. % NiCr) с уменьшением скорости подачи порошка (при $v_c = 3000...5000$ об/мин) и увеличением скорости передвижения сопла до 500...1000 мм/мин, а также увеличение содержание интерметаллидов от нижнего слоя покрытия (Ti–12 мас. % NiCr или Si) к поверхностному (Ti–30 мас. % NiCr или Si) с увеличением скорости подачи порошка и уменьшением скорости передвижения сопла.

3. Установлено повышение твердости слоев покрытия по направлению к поверхностному слою, при этом изменение параметров режима процесса лазерной наплавки на твердость слоев материала Ti–NiCr влияет несущественно.

4. В материалах системы Ti–Si твердость поверхностных слоев уменьшается с повышением скорости передвижения сопла и возрастает с увеличением скорости подачи порошка.

5. Нанесение слоев материалов систем Ti–NiCr и Ti–Si способом лазерной наплавки можно рекомендовать для повышения твердости и износостойкости титановой основы.

1. Toyserkani E., Khajepour A., Corbin S. Laser cladding. — CRC Press, 2005. — 110 p.
2. Potential of direct metal deposition technology for manufacturing thick functionally graded coatings and parts for reactors components / L. Thivillon, Ph. Bertrand, B. Laget, I. Smurov // J. Nucl. Mater. — 2009. — 385. — P. 236–241.
3. Неровный В. М. Теория сварочных процессов. — М.: Изд-во МГТУ им. Н. Э. Баумана, 2007. — 432 с.
4. Thick Co-based coating on cast iron by side laser cladding: Analysis of processing conditions and coating properties / V. Ocelik, U. De Oliveira, M. De Boer, J. Th. M. De Hosson // Surface and Coatings Techn. — 2007. — 201, Iss. 12. — P. 5875–5883.
5. Laser-assisted direct manufacturing of functionally graded 3D objects / A. Yakovlev, E. Trunova, D. Grevey, M. Pilloz, I. Smurov // Ibid. — 2005. — 190. — P. 15–24.
6. Gaard A., Krakhmalev P., Bergstrom J. Microstructural characterization and wear behavior of (Fe,Ni)-TiC MMC prepared by DMLS // J. Alloys and Compounds. — 2006. — 421. — P. 166–171.
7. Wear resistance of WCp/duplex stainless steel metal matrix composite layers prepared by laser melt injection / A. M. De Nascimento, V. Ocelik, M. C. F. Lerardi, J. Th. M. De Hosson // Surface & Coatings Techn. — 2008. — 202. — P. 4758–4765.
8. Mechanical properties of parts manufactured by direct metal deposition technology / L. Thivillon, D. Novichenko, Ph. Bertrand, I. Smurov // Lasers in manufacturing: Proc. V Intern. WLT-conf. on lasers in manufacturing. — Muenich, 2009. — P. 99–103.